

7. Anhang

7.1 Tabellen

<i>Schlafperiodenzeit (min)</i>	Median	Min	Max
SPG-Experte/QUISI 1	2,0	0,0	51,0
SPG-Experte/QUISI 2	2,0	0,0	63,5
QUISI 1/QUISI 2	2,3	0,0	113,5
Danker-Hopfe et al.(2004)	2,0	0,0	166,5

Tabelle 9a

<i>Effektive Schlafzeit (min)</i>	Median	Min	Max
SPG-Experte/QUISI 1	8,3	0,0	86,5
SPG-Experte/QUISI 2	8,5	0,5	85,5
QUISI 1/QUISI 2	11,8	1,0	70,5
Danker-Hopfe et al.(2004)	13,0	0,0	264,0

Tabelle 9b

<i>Einschlafzeit (min)</i>	Median	Min	Max
SPG-Experte/QUISI 1	1,5	0,0	53,0
SPG-Experte/QUISI 2	1,0	0,0	49,0
QUISI 1/QUISI 2	0,5	0,0	51,0
Danker-Hopfe et al.(2004)	1,5	0,0	82,5

Tabelle 9c

<i>Schlaf Effizienz Index (%)</i>	Median	Min	Max
SPG-Experte/QUISI 1	1,7	0,0	18,2
SPG-Experte/QUISI 2	2,0	0,0	17,0
QUISI 1/QUISI 2	2,3	0,2	13,9
Danker-Hopfe et al.(2004)	2,8	0,0	54,2

Tabelle 9d

<i>Wach (%der SPT)</i>	Median	Min	Max
SPG-Experte/QUISI 1	1,7	0,0	14,9
SPG-Experte/QUISI 2	2,7	0,0	17,4
QUISI 1/QUISI 2	2,6	0,1	19,5
Danker-Hopfe et al.(2004)	2,7	0,0	49,0

Tabelle 9e

<i>NREMI (% der SPT)</i>	Median	Min	Max
SPG-Experte/QUISI 1	3,8	0,1	18,7
SPG-Experte/QUISI 2	5,3	0,0	24,3
QUISI 1/QUISI 2	5,4	0,0	16,4
Danker-Hopfe et al.(2004)	4,7	0,0	37,9

Tabelle 9f

<i>NREM2 (% der SPT)</i>	Median	Min	Max
SPG-Experte/QUISI 1	4,8	0,0	16,8
SPG-Experte/QUISI 2	5,8	0,1	36,0
QUISI 1/QUISI 2	3,7	0,0	29,5
Danker-Hopfe et al.(2004)	5,9	0,0	57,0

Tabelle 9g

<i>SWS (% der SPT)</i>	Median	Min	Max
SPG-Experte/QUISI 1	3,7	0,0	28,3
SPG-Experte/QUISI 2	3,4	0,0	38,0
QUISI 1/QUISI 2	2,5	0,0	32,6
Danker-Hopfe et al.(2004)	3,2	0,0	17,7

Tabelle 9h

<i>REM (% der SPT)</i>	Median	Min	Max
SPG-Experte/QUISI 1	1,7	0,0	14,6
SPG-Experte/QUISI 2	1,7	0,0	14,1
QUISI 1/QUISI 2	1,6	0,1	15,6
Danker-Hopfe et al.(2004)	2,0	0,0	17,8

Tabelle 9i

Tabelle 9a-i – deskriptive Statistiken zur Verteilung der Beträge der paarweisen Differenzen der quantitativen Schlafparameter der vorliegenden Arbeit und der Untersuchung von Danker-Hopfe et al. (2004)

7.2 Abbildungen

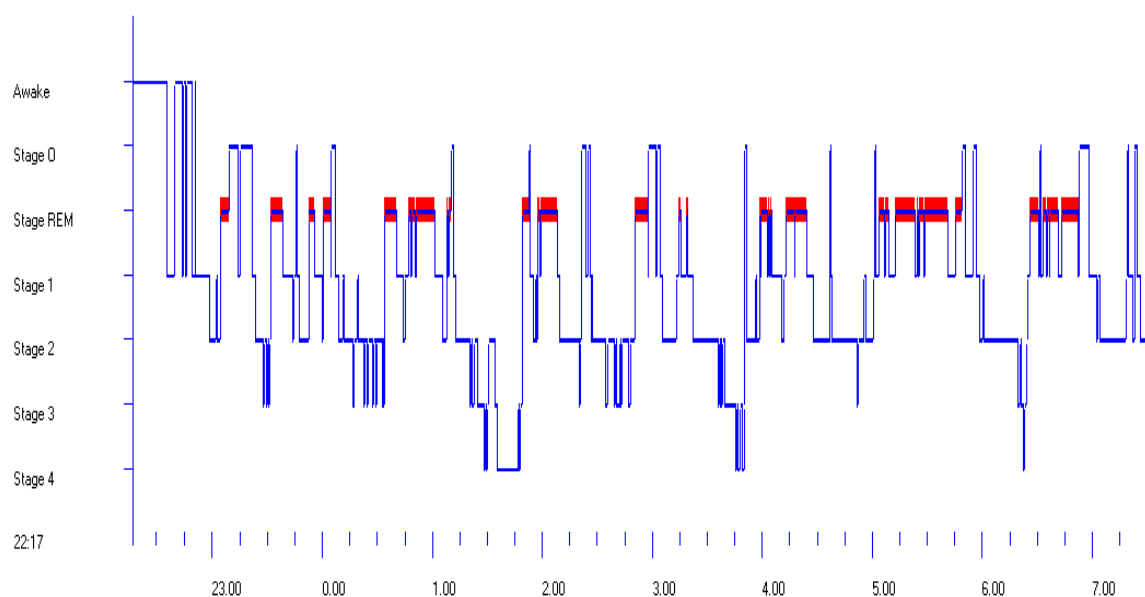


Abbildung 33a – Hypnogramm eines 29-jährigen schlafgestörten Patienten mit vielen Stadienwechseln und kurzen REM-Phasen (Auswerter: SPG-Experte)

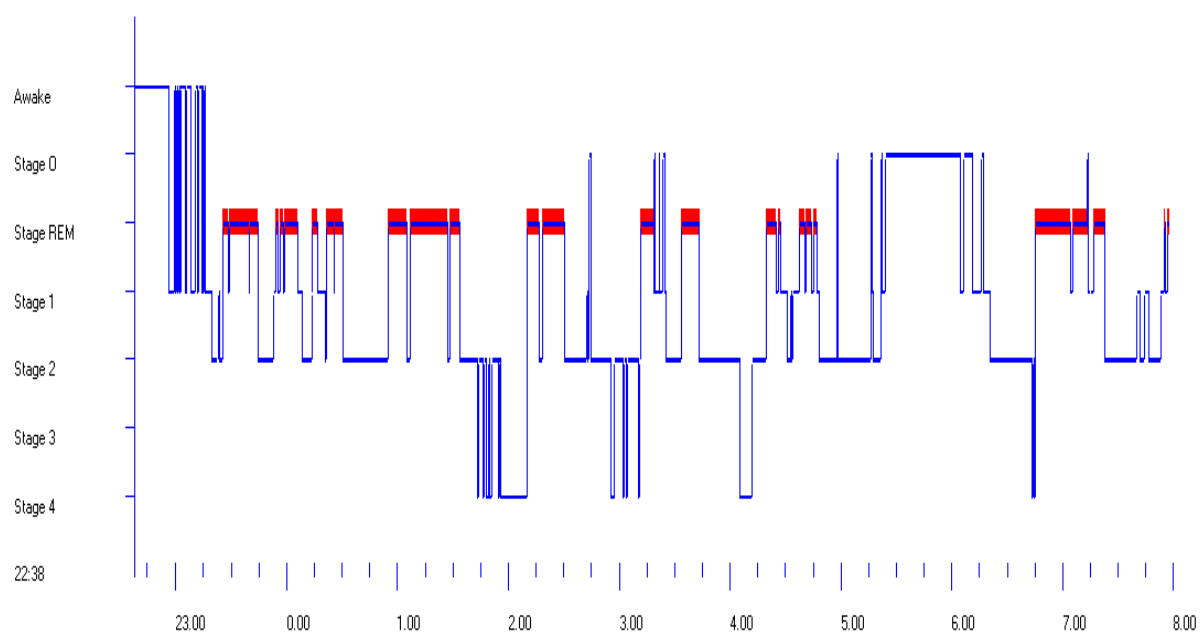


Abbildung 33b – Hypnogramm eines 29-jährigen schlafgestörten Patienten mit vielen Stadienwechseln und kurzen REM-Phasen (Auswerter: QUISI 1)

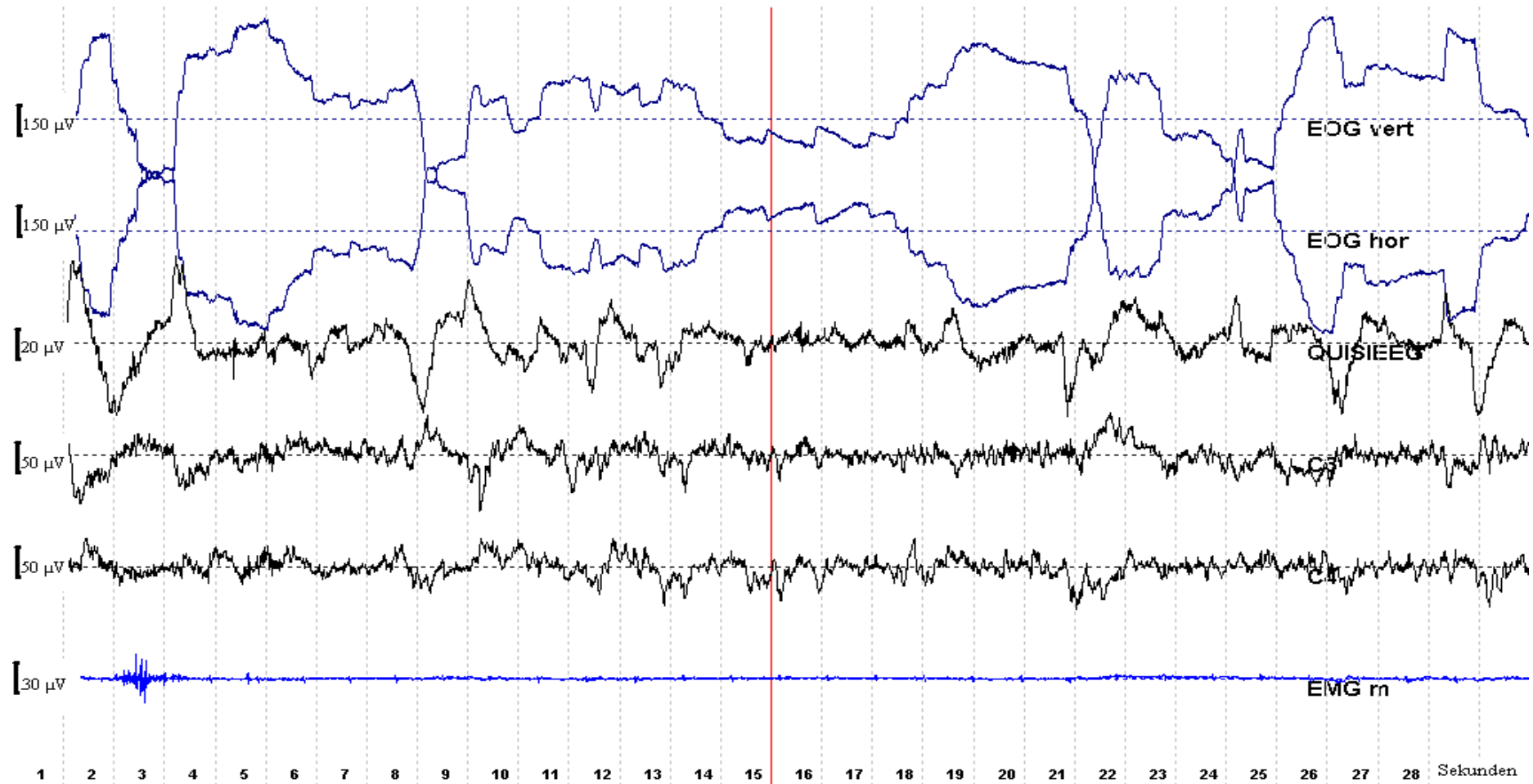


Abbildung 34 – Stadium REM: Phasische Beta-Aktivität sowie extrem ausgeprägte Augenbewegungen führten hier zu einer Falschbeurteilung als Stadium Wach.

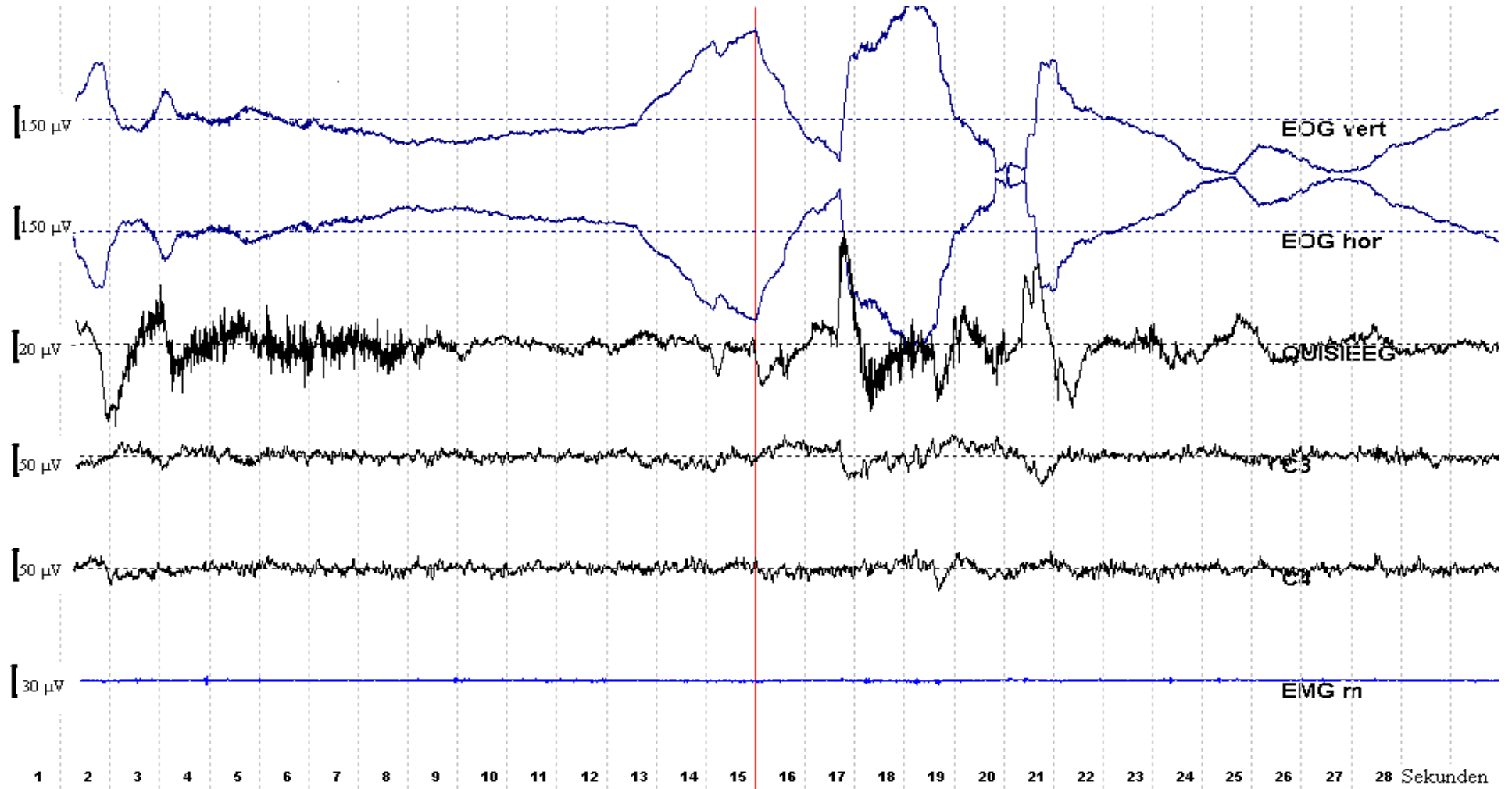


Abbildung 35 – dissoziiertes Stadium REM mit phasischer schneller Beta-Aktivität

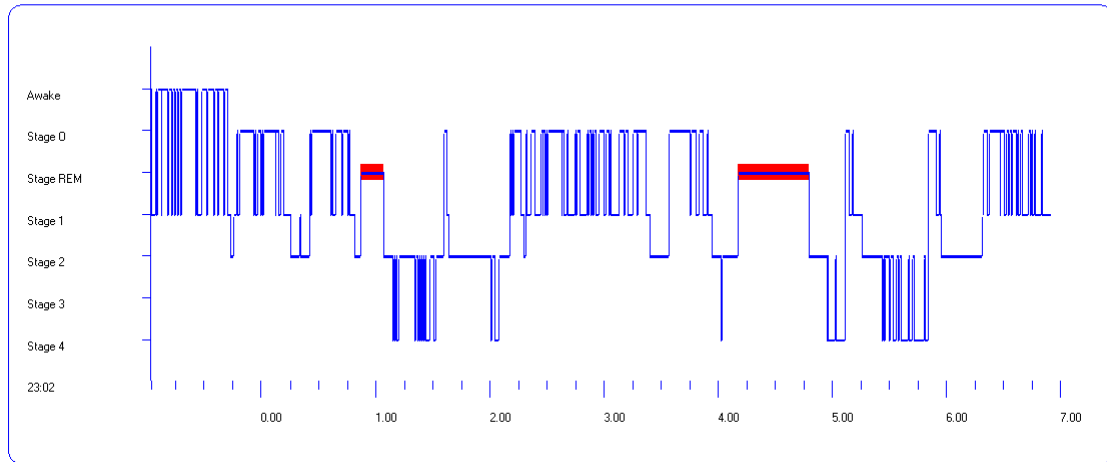


Abbildung 36 – Fragmentiertes Hypnogramm einer 72-jährigen Patientin, die an einem Periodic Limb Movement Syndrom leidet.

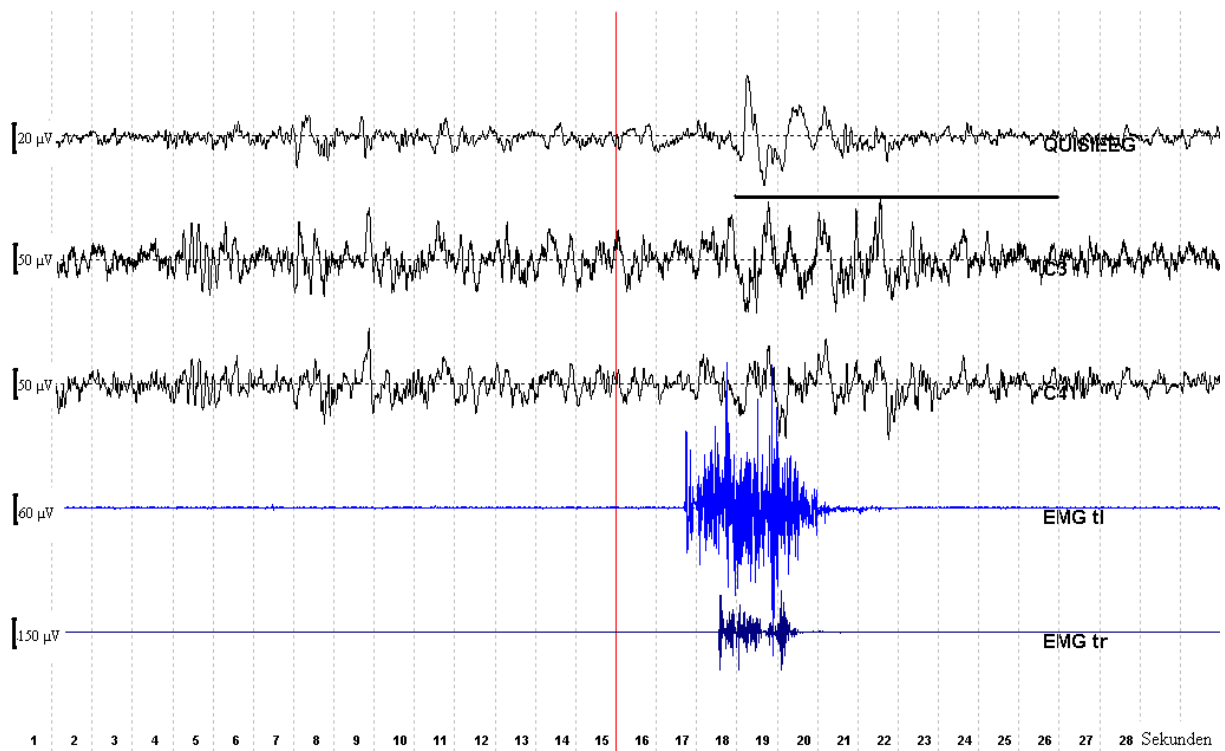


Abbildung 37 – durch Myoklonien ausgelöstes Arousal im fronto-polaren EEG nicht klar als solches erkennbar

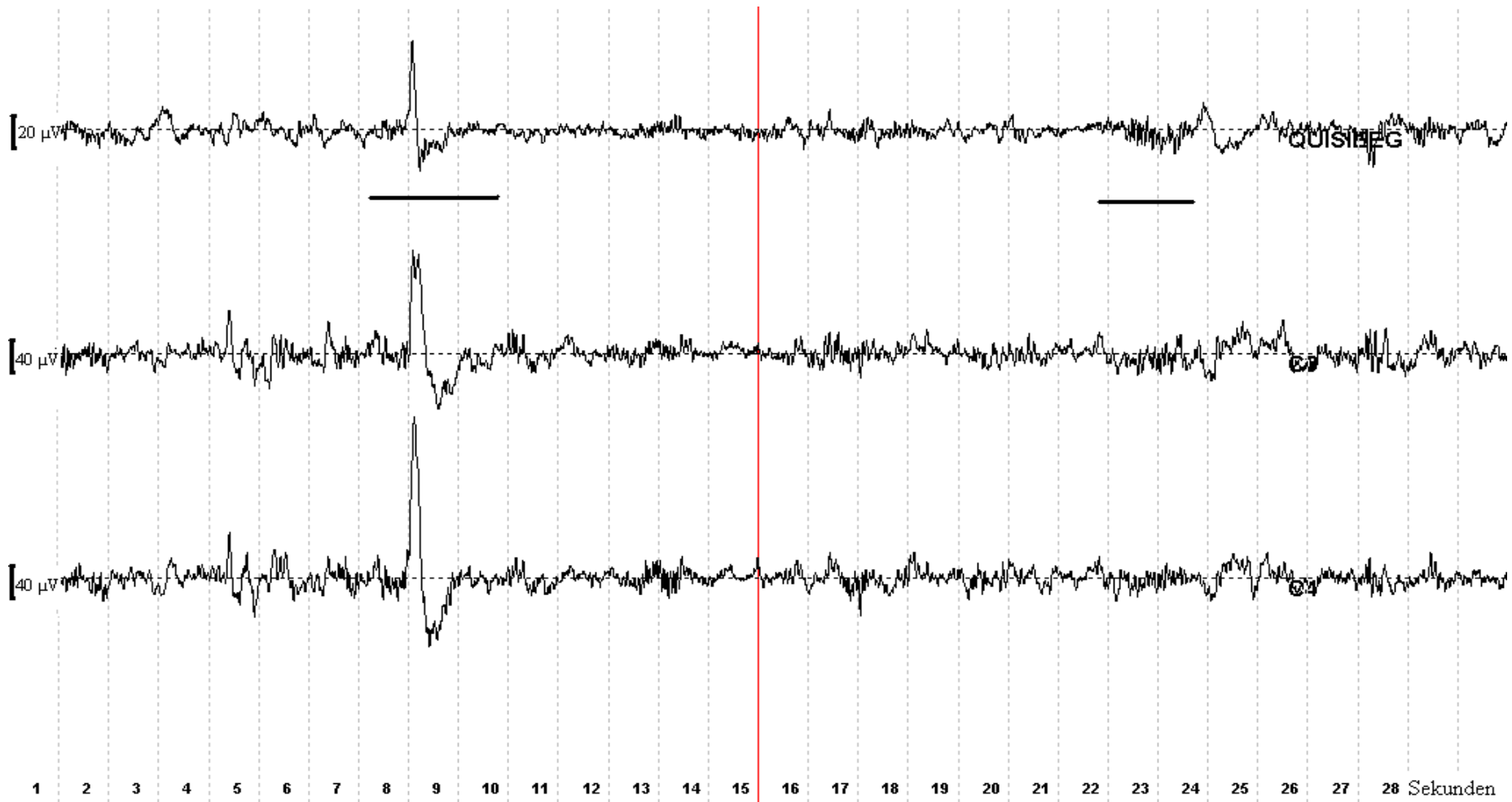


Abbildung 40 – Stadium NREM2: Sehr gut zu erkennender K-Komplex und Spindel (unterstrichen) im EEG eines 22-jährigen schlafgestörten Patienten

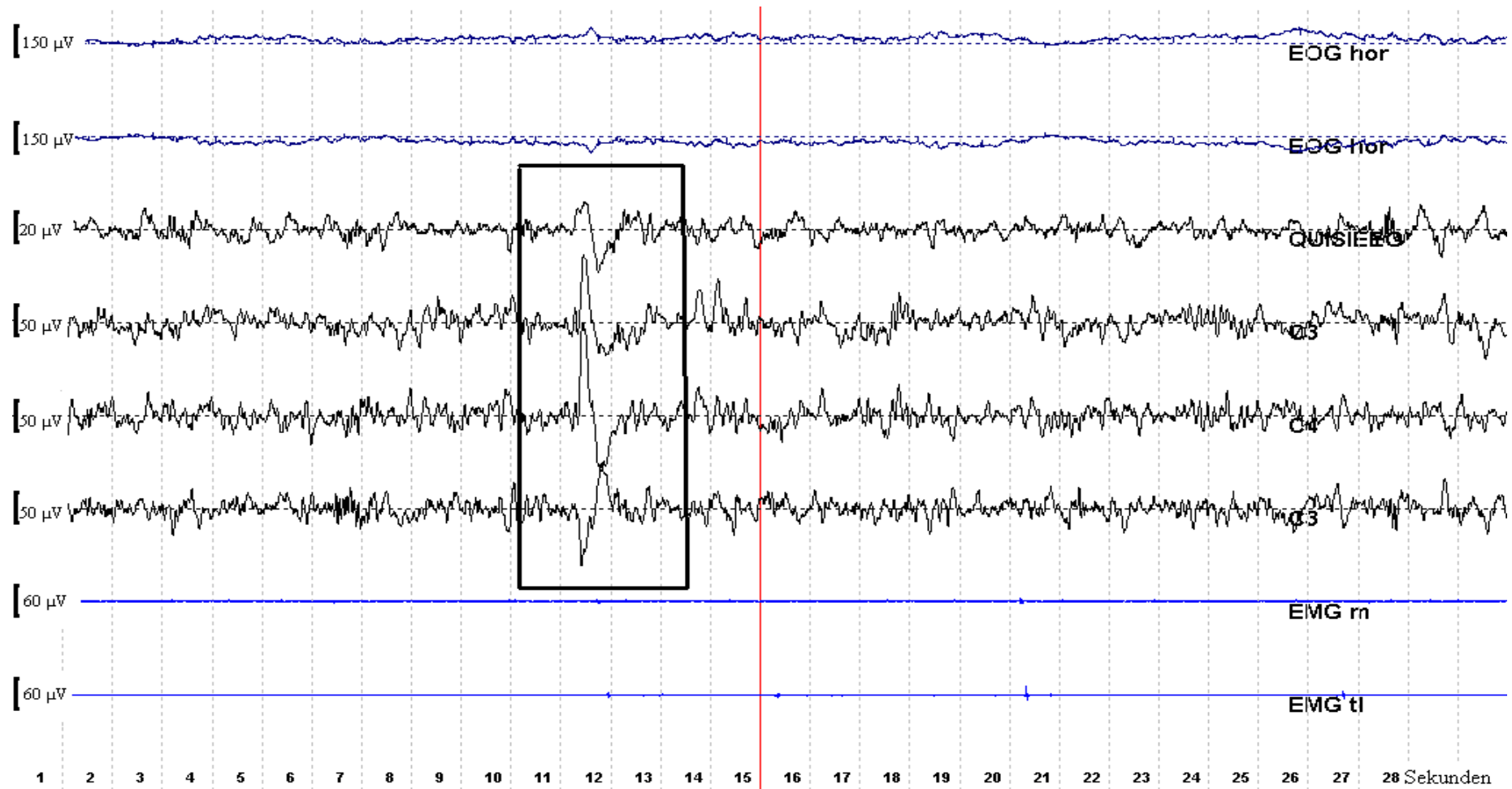


Abbildung 41 – Stadium NREM2: Sehr gut zu erkennender K-Komplex im EEG einer 46-jährigen Patientin mit PLMS

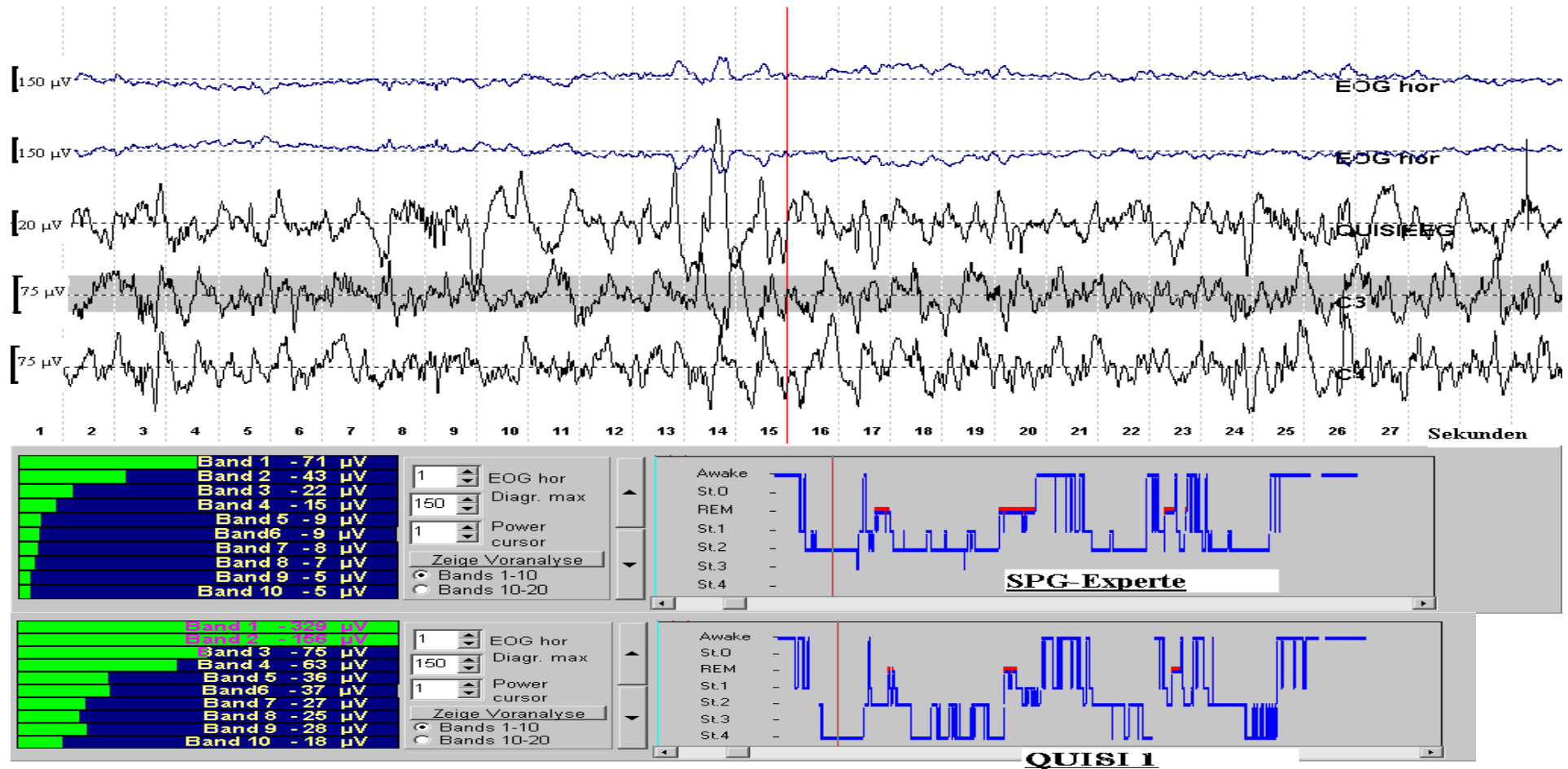


Abbildung 42 – Stadium SWS: Der SPG-Experte wertete hier Stadium NREM2, obwohl die Powerspektralanalyse einen ausreichenden Delta-Anteil $>75 \mu\text{V}$ anzeigt.

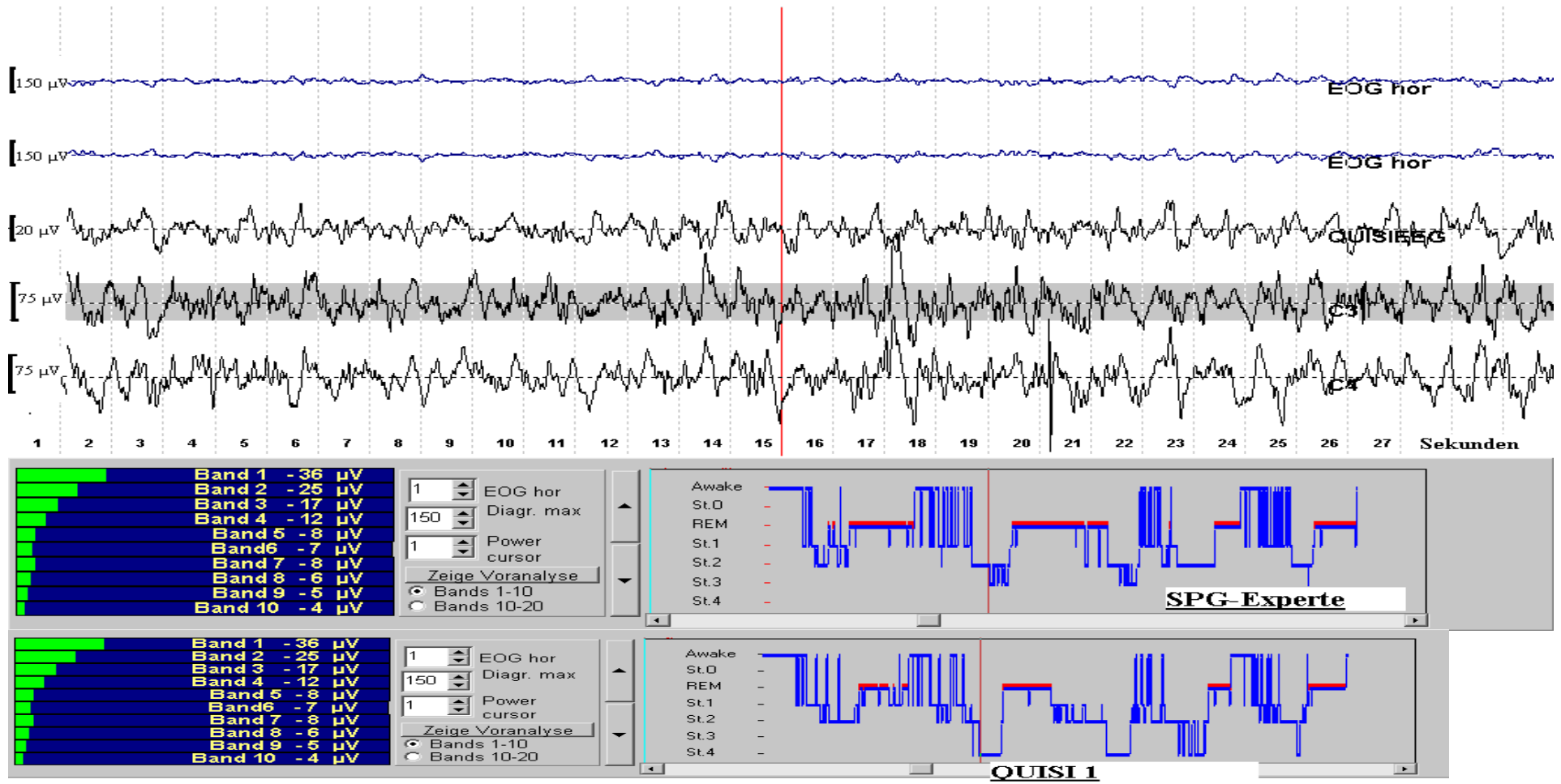


Abbildung 43 – Stadium SWS: Der SPG-Experte wertete hier Stadium NREM2, obwohl die Powerspektralanalyse einen ausreichenden Delta-Anteil $>75 \mu\text{V}$ anzeigt.

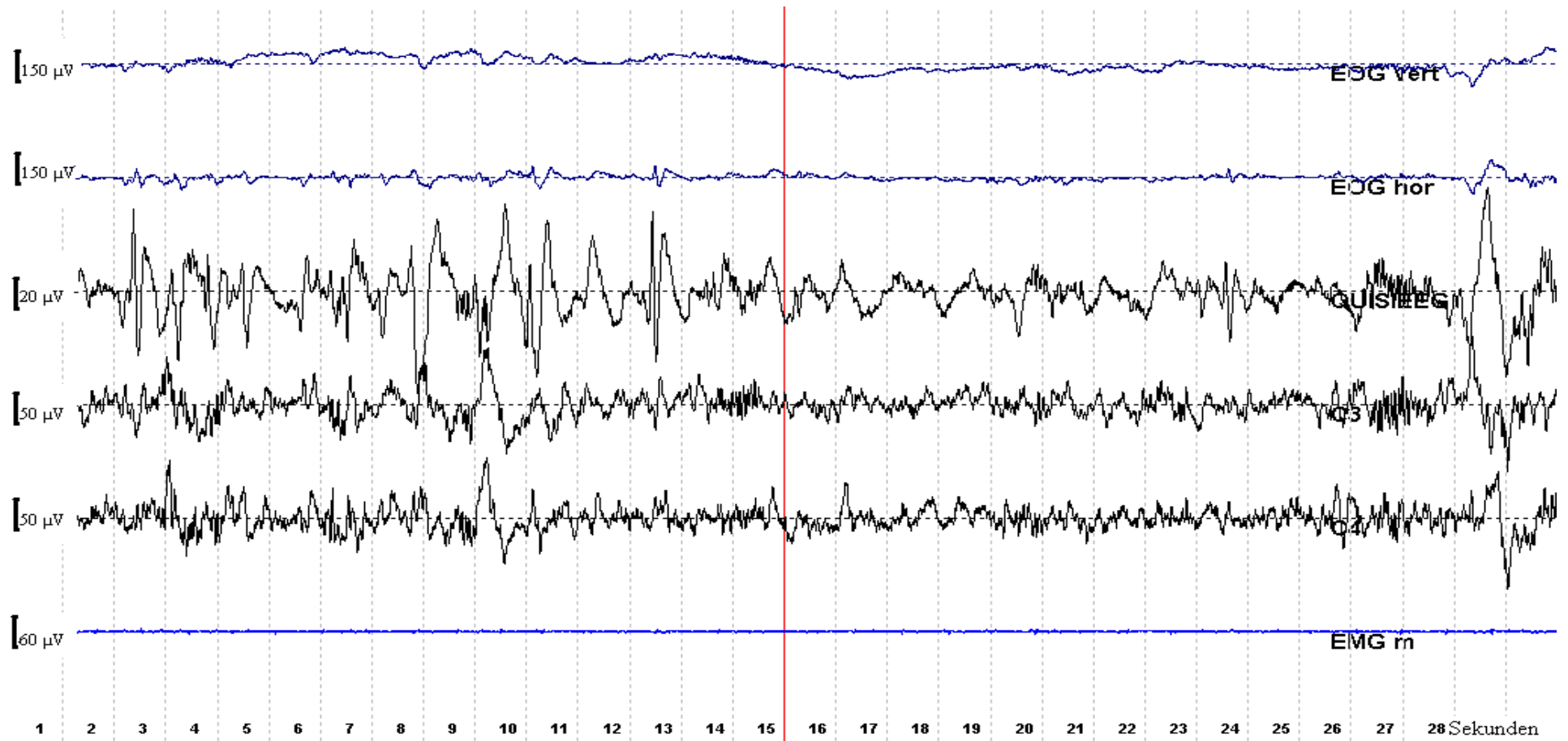


Abbildung 44 – Stadium NREM2: Die im fronto-polar abgeleiteten EEG (3. von oben) Spike-Wave-Komplexe wurden fälschlicherweise als Delta-Wellen gewertet.

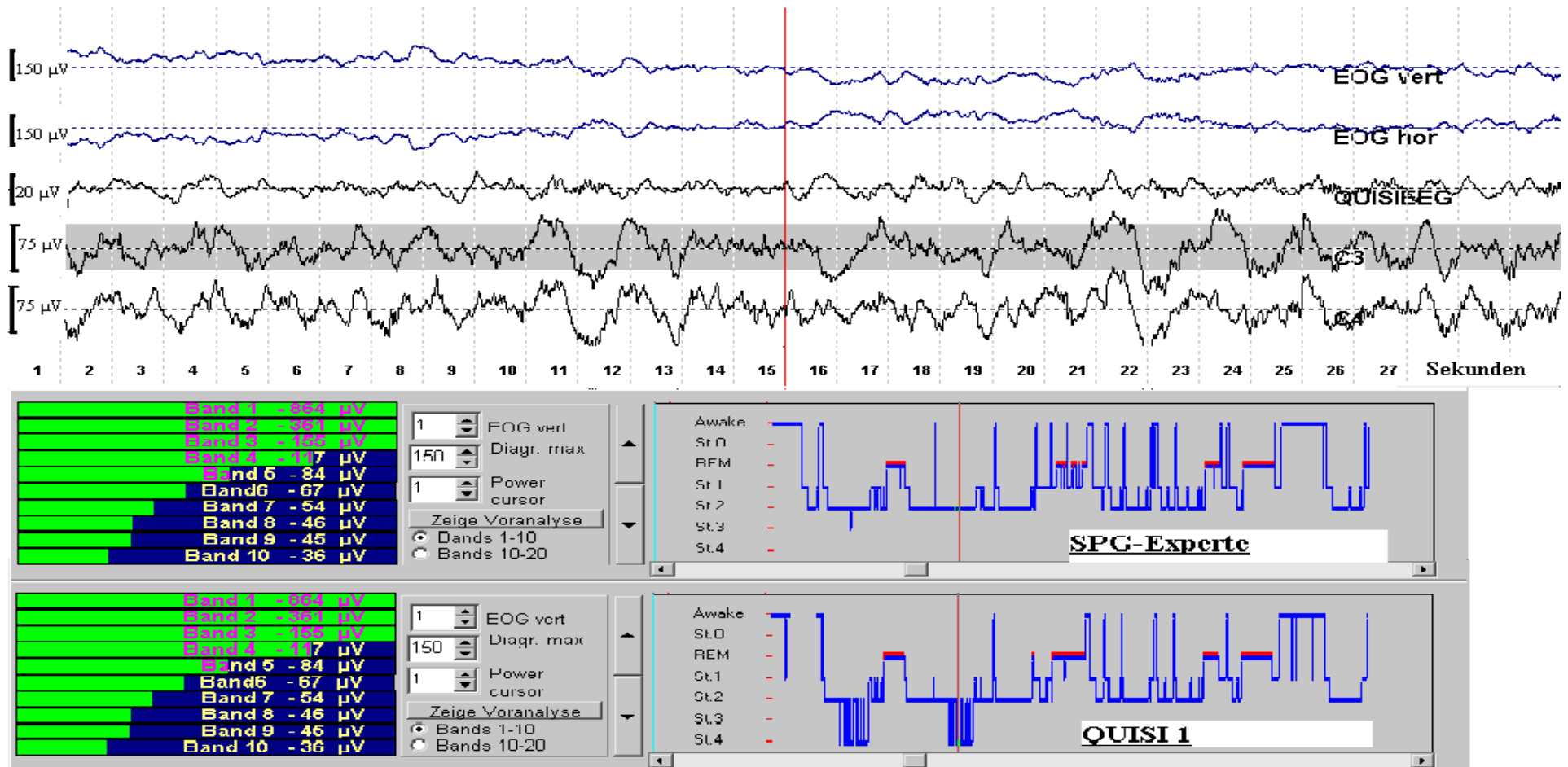


Abbildung 46 – Stadium SWS: Der SPG-Experte wertete hier Stadium NREM2, obwohl die Powerspektralanalyse einen ausreichenden Delta-Anteil $>75 \mu\text{V}$ anzeigt.

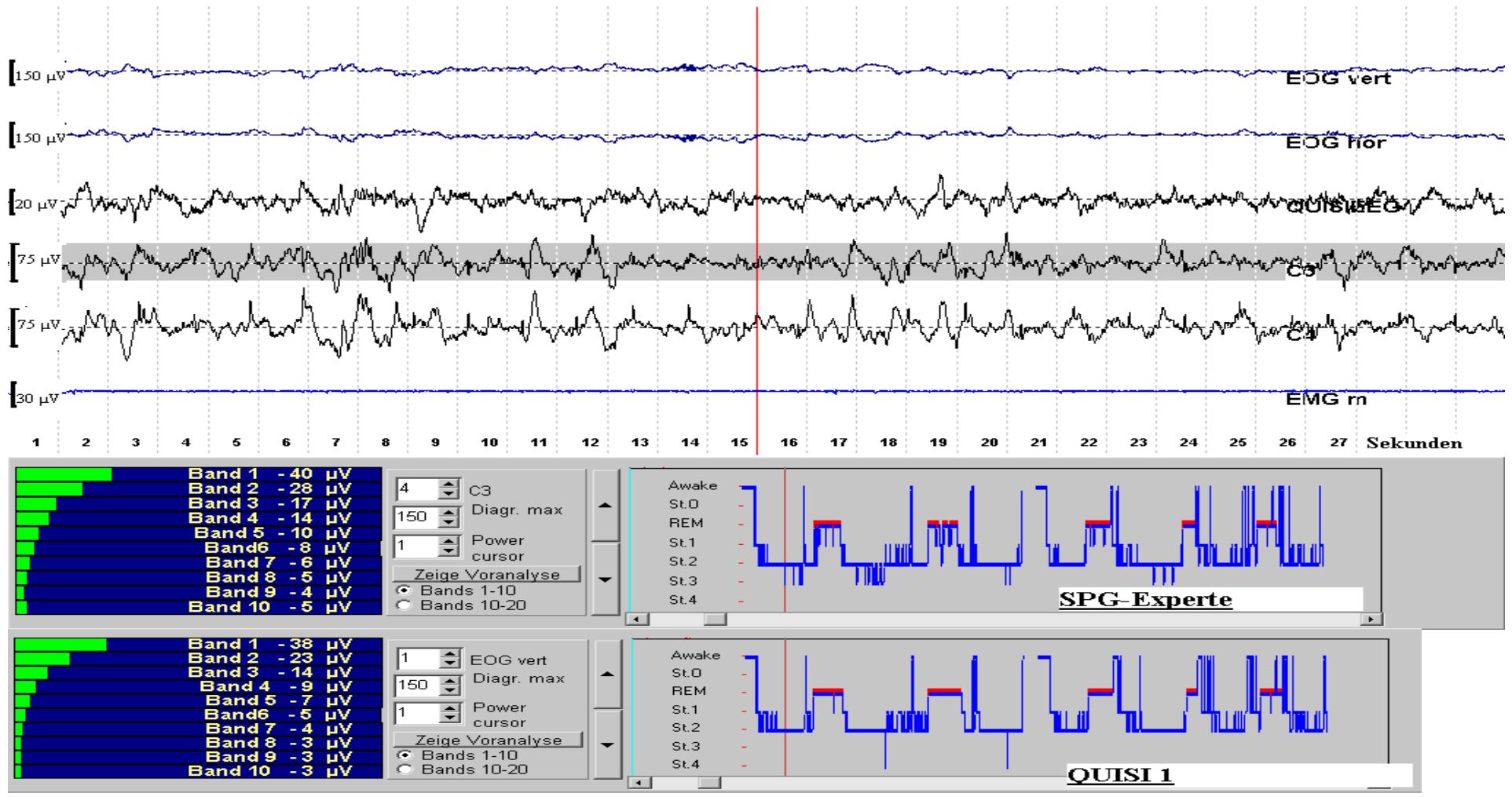


Abbildung 47 – Stadium NREM2: Delta-Aktivität an der Grenze zu 75 µV

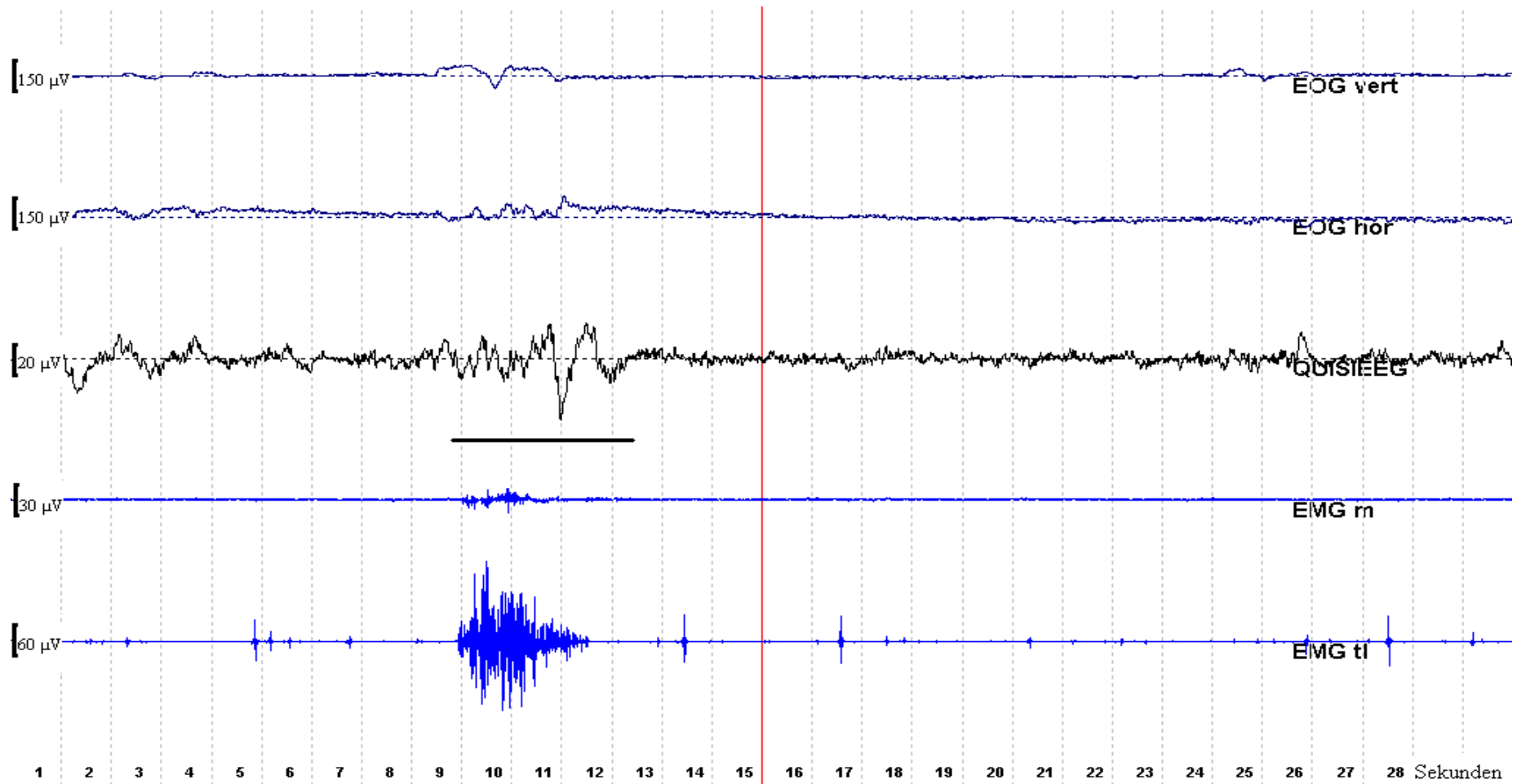


Abbildung 49 – Stadium NREM2: K-Komplex (unterstrichen) wurde hier als schnelle Augenbewegung fehlgedeutet.

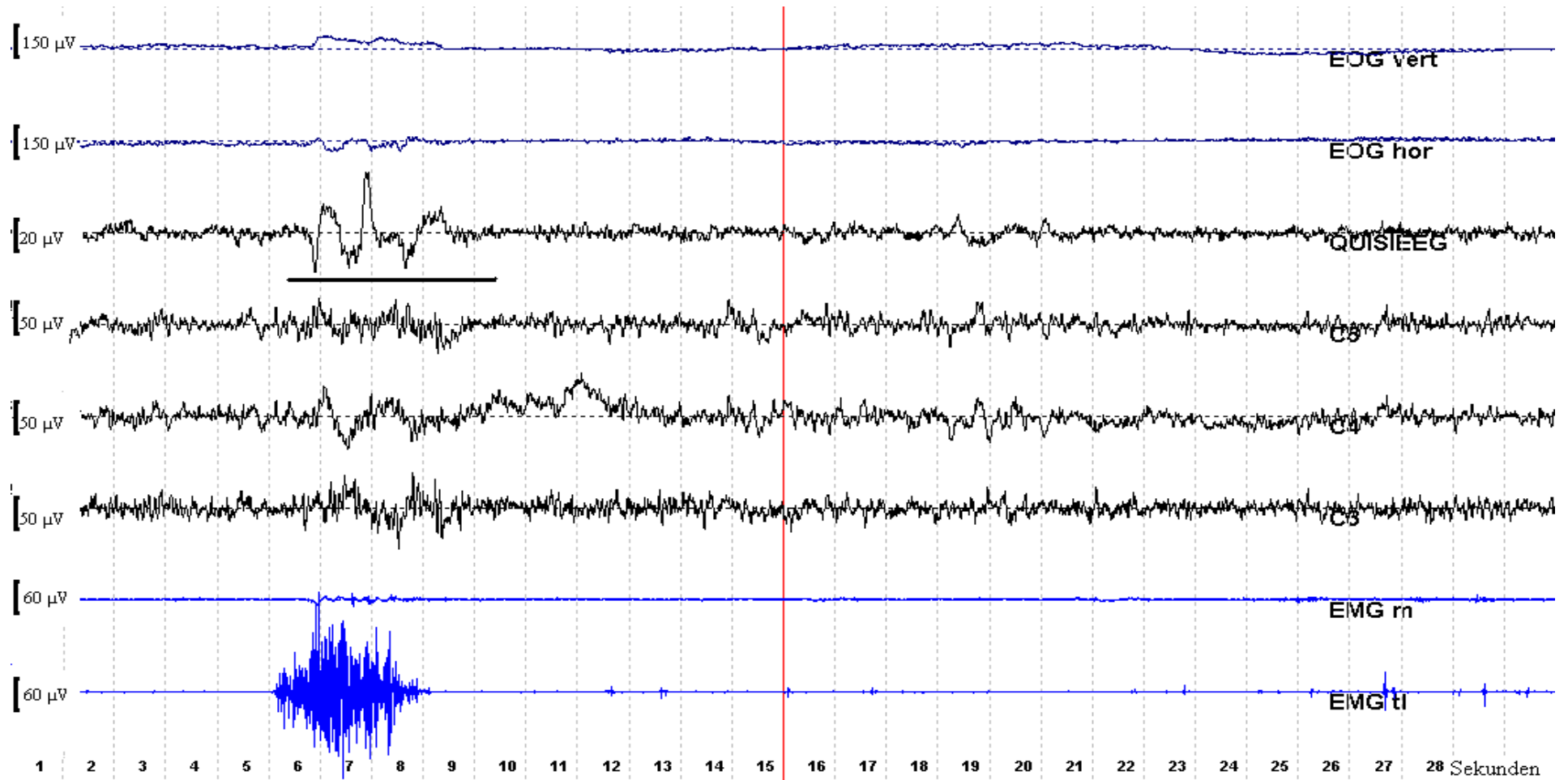


Abbildung 50 – Stadium NREM2: Mikroarousal (unterstrichen) wurde hier als schnelle Augenbewegung fehlgedeutet.

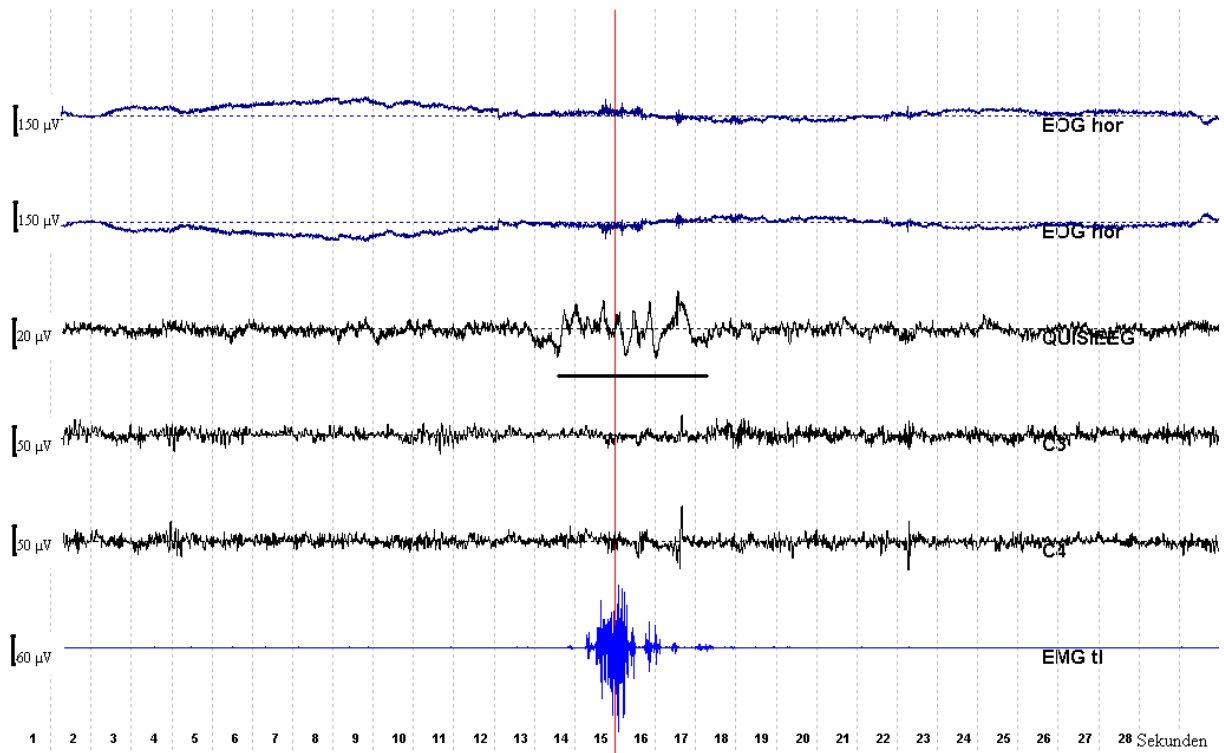


Abbildung 51 – Spitze Ausschläge im fronto-polaren EEG (unterstrichen) wurden als schnelle Augenbewegungen fehlgedeutet.

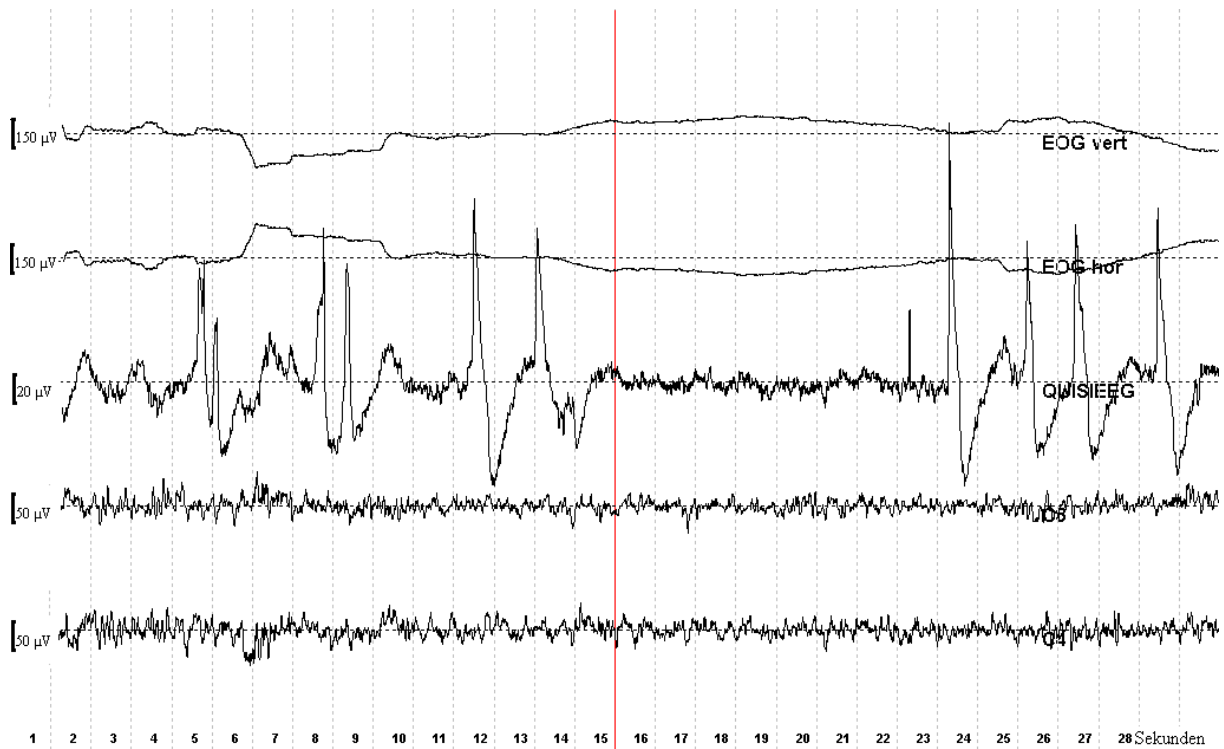


Abbildung 52 – Artefakte im fronto-polaren EEG